

ОРИЕНТАЦИОННЫЕ ФАЗОВЫЕ ПЕРЕХОДЫ В АДСОРБИРОВАННОМ МОНОСЛОЕ.

Г.В.Уймин, Л.Н.Шур

Показана возможность существования ориентационных фазовых переходов первого рода в адсорбированном монослое на грани (011) объемоцентрированного кубического кристалла (типа вольфрама).

В последнее время и теоретики и экспериментаторы проявляют большой интерес к упорядоченным системам, обладающим свойством несоизмеримости их подсистем. Хорошо известными примерами, демонстрирующими несоизмеримость с периодом решетки периодов возникающих сверхструктур, являются волны зарядовой плотности, а также магнитное упорядочение в геликоидальных магнетиках. Много внимания также уделяется явлениям в монослоях адсорбированных атомов (адатомов) (см. обзор [1]), где часто структура монослоя не имеет ничего общего со структурой подложки.

Характер возникающей решетки адатомов определяется двумя факторами: периодическим потенциальным рельефом подложки и взаимодействием между адатомами. В зависимости от типа подложки это взаимодействие бывает в основном двух классов. К первому относится диполь-дипольное отталкивание адатомов. Оно оказывается весьма существенным, если подложка является металлом (о природе взаимодействия и его характере см. [1 - 3]). Ко второму классу относится вандер-ваальсовское притяжение на больших расстояниях и отталкивание внешними электронными оболочками адатомов на малых. Это взаимодействие является типичным в монослое на графитовой поверхности [4].

Здесь мы рассмотрим первый класс взаимодействий, приводящий в случае слабого потенциального рельефа поверхности к плотноупакованной структуре монослоя с постоянной решеткой, определяемой концентрацией адатомов. Основной вклад в полную энергию $E = E_0 + E_1$ дает взаимодействие между адатомами

$$E_0 = \frac{1}{2} g \sum_{i \neq j} |\mathbf{r}_i - \mathbf{r}_j|^{-3}, \quad (1)$$

а их взаимодействие с подложкой

$$E_1 = V \sum_i (\cos k_1 r_i + \cos k_2 r_i) \quad (2)$$

рассматривается как возмущение. По этой причине в периодическом потенциале (2) мы не учитываем кратных гармоник. Волновые векторы

\mathbf{k}_1 и \mathbf{k}_2 определяют структуру поверхности подложки. Координаты адатомов

$$\mathbf{r}_i = \mathbf{r}_i^{(0)} + \mathbf{u}_i \quad (3)$$

складываются из их равновесных положений $\mathbf{r}_i^{(0)}$ в правильной треугольной решетке и смещений \mathbf{u}_i , которые находятся из минимизации полной энергии E . Подстановка (3) в (1) и (2) и учет главных членов разложения по смещениям приводит нас к следующему выражению для полной энергии:

$$E = E_0^{(0)} + \frac{1}{2} \sum_{\mathbf{q}, \alpha, \beta} \epsilon_{\alpha \beta}(\mathbf{q}) u_{\alpha}(\mathbf{q}) u_{\beta}(-\mathbf{q}) - V \sum_i (k_1 u_i \sin k_1 r_i^{(0)} + k_2 u_i \sin k_2 r_i^{(0)}), \quad (4)$$

где E_0 — невозмущенная энергия взаимодействия адатомов,

$$u_{\alpha}(\mathbf{q}) = N_a^{-1/2} \sum_j u_j a \exp(i \mathbf{q} \mathbf{r}_j^{(0)}) \quad (5)$$

— фурье-образ α -компоненты смещения (N_a — полное число адатомов) и

$$\epsilon_{\alpha \beta}(\mathbf{q}) = 3g \sum_j (1 - \cos q r_j^{(0)}) \frac{5 x_j^{(0)} x_j^{(0)} - (r_j^{(0)})^2 \delta_{\alpha \beta}}{(r_j^{(0)})^2}. \quad (6)$$

Возникающие при минимизации энергии (4) смещения

$$u_{\alpha}(k_{(1,2)}) = \frac{i}{4} V N_a^{1/2} (\epsilon^{-1}(k_{(1,2)}))_{\alpha \gamma} k_{(1,2)\gamma} \quad (7)$$

приводят к выигрышу энергии

$$\Delta \epsilon = \frac{1}{N_a} \Delta E = -\frac{1}{8} V^2 \left\{ k_1 \beta(\epsilon^{-1}(k_1))_{\beta \gamma} k_{1\gamma} + k_2 \beta(\epsilon^{-1}(k_2))_{\beta \gamma} k_{2\gamma} \right\} \quad (8)$$

которая, вообще говоря, зависит от взаимной ориентации пары векторов ($\mathbf{k}_1, \mathbf{k}_2$) и пары базисных векторов в правильной треугольной решетке адатомов ($\mathbf{a}_1, \mathbf{a}_2$). Мы произвели численный расчет функции (8) в зависимости от угла поворота α (см. рис. 1) для конкретного случая грани (011) объемоцентрированного кристалла типа вольфрама. Расчет производился в широкой области концентраций адатомов $c = N_a/N$ (N — полное число атомов поверхности). Оказались возможными фазовые переходы первого рода со скачкообразным изменением α при концентрациях, указанных в нижеследующей таблице. Там же дается изменение угла α при переходе от меньших концентраций к большим.

c	$\alpha_{<}$	$\alpha_{>}$
0,18	8°	20°
0,27	25°	-3°
0,47	-5°	8°
0,66	15°	25°

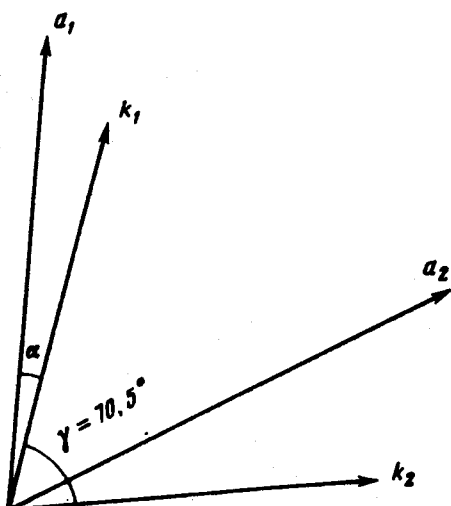


Рис.1. Взаимная ориентация пар векторов a_1 , a_2 и k_1 , k_2 для случая грани (011) решетки вольфрама

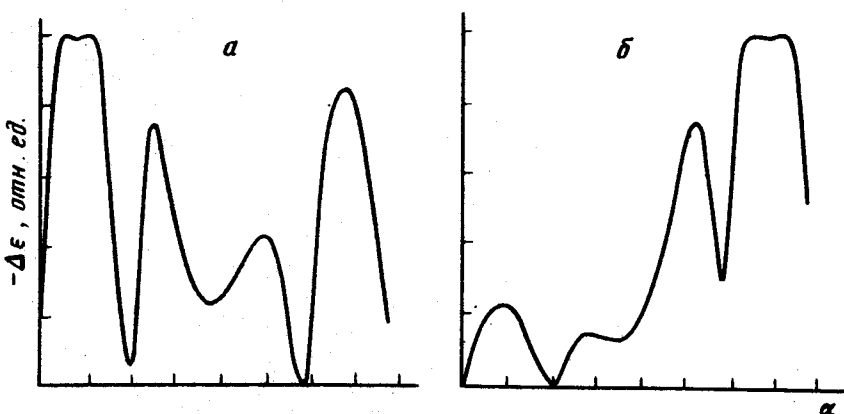


Рис.2. Значения функции (8) для концентраций $c = 0,268$ (а) и $c = 0,254$ (б)

На рис.2 показано изменение вида функции (8) при концентрации, близкой к $c \sim 0,27$. В экспериментах по дифракции медленных электронов была обнаружена [5] почти скачкообразная переориентация рефлексов, даваемых монослоем атомов цезия с концентрацией равной $0,22 \pm 0,03$, напыленных на грань (011) вольфрама. Угол поворота решетки адатомов в этих экспериментах был близок к 30° .

Следует отметить, что рассмотренная здесь теория возмущений отказывает при приближении одного из векторов обратной решетки адатом-

мов к векторам k_1 и k_2 . При концентрациях, определяемых этим условием, должно происходить одномерное согласование решетки атомов с подложкой.

Авторы благодарны В.Л.Покровскому за интерес к работе и А.Г.Наумовцу и А.Г.Федорусу за любезно предоставленную информацию об экспериментальных работах.

Институт теоретической физики
им. Л.Д.Ландау
Академии наук СССР

Поступила в редакцию
23 мая 1978 г.

Литература

- [1] Л.А.Большов, А.Л.Напартович, А.Г.Наумовец, А.Г.Федорус. УФН, 122, 125, 1977.
- [2] J.R.Schriffer. J. Vac. Sci. and Technol., 9, 561, 1972
- [3] А.М.Габович, Э.А.Пашицкий. ФТТ, 18, 377, 1976.
- [4] M.Nielsen, W.D.Ellenson, J.P.McTague. J.de Physique, 38, C4-1, 1977.
- [5] A.G.Fedorus, A.G.Naumovets. Surf. Sci., 21, 426, 1970.